

LiNbO₃:MgO:Nd₂O₃ 晶体的光谱特性

张日理

(中山大学物理系, 510275)

蒋民华 孟宪林 邵宗书

(山东大学晶材所, 250100)

摘要: 本文用 Czochralski 法生长出了 LN:Mg²⁺:Nd³⁺ 单晶, 对其光谱参数进行了计算分析, 并用激光泵浦, 观察到了该晶体的激光输出。

关键词: LiNbO₃:MgO:Nd₂O₃ 晶体, 光谱特性

Spectroscopic properties of LiNbO₃:MgO:Nd₂O₃ crystal

Zhang Yueli

(Department of Physics, Zhongshan University, Guangzhou)

Jiang Minhua, Meng Xianlin, Shao Zongshu

(Institute of Crystal Materials, Shandong University, Jinan)

Abstract: LN: Mg²⁺: Nd³⁺ single crystals were grown by Czochralski technique, their spectroscopical parameters were calculated and analysed, and the infrared laser emission was observed with laser pumping.

Key words: LiNbO₃: MgO: Nd₂O₃ crystal, spectroscopic properties

LiNbO₃:Nd³⁺ (LN:Nd³⁺) 晶体是一种非常有前途的激光和激光自倍频材料^[1~5]。但由于 LN:Nd³⁺ 存在严重的光损伤^[6], 因此限制了 LN:Nd³⁺ 的进一步应用。近年来, 由于高掺 MgO:LiNbO₃ 晶体的出现有效地解决了铌酸锂的光损伤问题^[7], 所以人们自然想到了用高掺 MgO:LN:Nd³⁺ 来解决 LN:Nd³⁺ 的光损伤问题, 这就促使人们开始研究 LN:Mg²⁺:Nd³⁺ 晶体的激光和激光自倍频特性^[8, 9]。晶体的激光特性与其光谱参数密切相关, 所以我们有必要对 LN:Mg²⁺:Nd³⁺ 的光谱特性进行研究。

一、晶体生长

LN:Mg²⁺:Nd³⁺ 晶体生长原料采用高纯 Nb₂O₅、LiCO₃ 和光谱纯 MgO、Nd₂O₃。原料制备是按 LiNbO₃ 同成份点 (Li/Nb=48.6/51.4) 掺入了 5% mol MgO 和一定量的 Nd₂O₃ 均匀混合、压块, 然后在 1100°C 高温下烧结而成的。

LN:Mg²⁺:Nd³⁺ 晶体生长所用坩埚为 Pt 坩埚, 所用设备为中频感应加热单晶炉, 采用方法为 Czochralski 法。实验生长晶体大小为 φ20×20 mm, 生长条件为: 拉速 1~1.5 mm/h, 转速 15~25 rpm。

二、光谱实验

我们对生长出的掺杂 1at. % Nd 的 LN:Mg²⁺:Nd³⁺ 晶体样品进行了含 Nd 量分析，结果含 Nd 量为 wt 0.17%。

对掺 Nd at. 1% 的 LN:Mg²⁺:Nd³⁺ 晶体沿 α 轴方向切取一片毫米级的晶片（厚 1.22 mm），用日立 340 型分光光度计测得晶体样品对不同偏振方向的光的吸收谱 ($E \parallel Z$, $E \perp Z$)，如图 1 所示。由吸收谱可以看出 LN:Mg²⁺:Nd³⁺ 晶体对不同偏振方向的光的吸收不同，是晶体的各向异性所致。

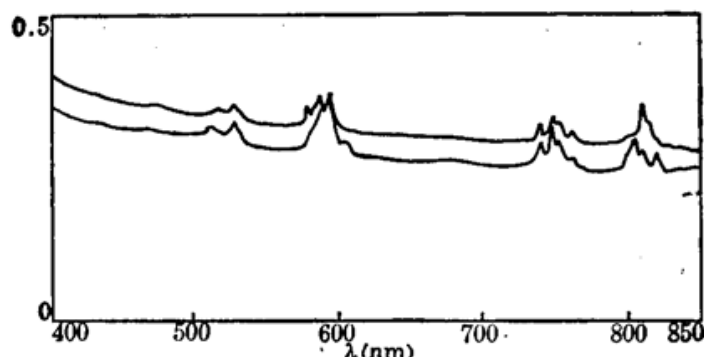


图 1 LN:Mg²⁺:Nd³⁺ 的吸收谱(室温)，其中较上端的一条是偏振光 $E \parallel Z$ 的吸收谱，下端的一条是偏振光 $E \perp Z$ 的吸收谱

根据图 1，对不同的吸收带进行积分，利用公式(1)可计算出 LN:Mg²⁺:Nd³⁺ 晶体中 Nd³⁺ 的实验振子强度值 P_{exp} ：

$$P_{\text{exp}} = 4.138 \times 10^{-9} \int \epsilon(\delta) d\delta \quad (1)$$

其中 δ 为波数(cm^{-1})， $\epsilon(\delta)$ 为摩尔的光度。

三、理论与计算

3.1 理论

1962 年，Judd-Ofelt^[10, 11] 各自独立地提出了一种稀土光谱理论，即“J-O”理论。这种理论成功地解决了稀土离子 $4f^N$ 电子态间的跃迁问题，从而为稀土激光材料的设计提供了一个理论工具。

根据“J-O”理论，可以得到电偶极跃迁振子强度：

$$\begin{aligned} P_{\text{cal}} &= \frac{8\pi^2 mc}{3h(2J+1)} \cdot \frac{(n^2+2)^2}{9n} \cdot \delta \cdot \sum_{\lambda=2,4,6} \Omega_\lambda |\langle f^N [SL] J \| U^{(\lambda)} \| f^N [S'L'] J' \rangle|^2 \\ &= \sum_{\lambda=2,4,6} J_\lambda \cdot \delta |\langle f^N [SL] J \| U^{(\lambda)} \| f^N [S'L'] J' \rangle|^2 \cdot (2J+1)^{-1}, \end{aligned} \quad (2)$$

其中 δ 为波数(cm^{-1})， n 为折射率， $\langle \|U^{(\lambda)}\| \rangle$ 为单位张量算符的约化矩阵元， Ω_λ 、 J_λ 为唯象强度参数。

稀土离子在不同环境下的单位张量算符的约化矩阵元变化很小，可以认为是不随离子环境变化的常量。Nd³⁺ 的单位张量的约化矩阵元可从文献[12]查出直接引用。LN:Mg²⁺:Nd³⁺ 晶体的折射率与 LN 的折射率基本一样，所以可用文献[13]中 LN 的折射率代替。

由跃迁振子强度可得到自发辐射几率、辐射跃迁寿命、荧光分支比和积分发射截面。

(1) 自发辐射几率 (A_r)：

$$A_r [(SL)J, (S'L')J'] = \frac{8\pi^2 e^2 n^2 \delta^2}{mc} P_{\text{cal}} \quad (3)$$

(2) 辐射跃迁寿命(τ):

$$\tau = \frac{1}{\sum_{S'L'J'} A_r[(SL)J, (S'L')J']} ; \quad (4)$$

(3) 荧光分支比(β):

$$\beta[(SL)J, (S'L')J'] = \frac{A_r[(SL)J, (S'L')J']}{\sum_{S'L'J'} A_r[(SL)J, (S'L')J']} ; \quad (5)$$

(4) 积分发射截面(Σ):

$$\Sigma[(SL)J, (S'L')J'] = \frac{1}{8\pi n^2 c \delta^2} A_r[(SL)J, (S'L')J'] ; \quad (6)$$

3.2 计算

首先由式(1)得到振子强度的实验值 P_{exp} , 由(2)式利用最小二乘法拟合计算出三个唯象强度参数 Ω_λ ($\lambda = 2, 4, 6$); 然后再代入(2)式, 得到振子强度的计算值, 如表1所示。再按(3)~(6)式和文献[15]给出的约化矩阵元 $| \langle ^4F_{3/2} \| U^\lambda \| ^4I_J \rangle |^2$ 来计算出 LN:Mg²⁺:Nd³⁺ 晶体的 $^4F_{3/2} \rightarrow ^4I_J$ 之间的辐射跃迁几率 A_r 、辐射寿命 τ 、荧光分支比 β 和积分发射截面 Σ , 结果见表2。

表1 LN:Mg²⁺:Nd³⁺ 晶体中 Nd³⁺ 的吸收振子强度的测量值和拟合值

跃 迁	波 数 (cm ⁻¹)	$\perp Z$			$/ Z$		
		实验值 (10 ⁻⁶)	计算值 (10 ⁻⁶)	经验计算值* (10 ⁻⁶)	实验值 (10 ⁻⁶)	计算值 (10 ⁻⁶)	经验计算值* (10 ⁻⁶)
$^4I_{9/2} \rightarrow \begin{cases} ^4F_{5/2} \\ ^2H_{9/2} \end{cases}$	12300	6.6	8.7	9.5	6.4	7.5	6.9
$^4I_{9/2} \rightarrow \begin{cases} ^4F_{7/2} \\ ^4S_{3/2} \end{cases}$	13333	11.7	10.6	8.7	6.4	5.8	6.4
$^4I_{9/2} \rightarrow \begin{cases} ^4G_{5/2} \\ ^2G_{7/2} \end{cases}$	17241	26.7	26.8	25.1	15.2	15.3	16.6
$^4I_{9/2} \rightarrow \begin{cases} ^2K_{13/2} \\ ^4G_{7/2} \\ ^4G_{9/2} \end{cases}$	18903	7.5	5.9	8.5	7.8	6.8	6.0
拟合参数	$J_2 = 1.30 \times 10^{-8}$ $J_4 = 0.35 \times 10^{-8}$ $J_6 = 1.18 \times 10^{-8}$			$J_2 = 0.077 \times 10^{-8}$ $J_4 = 1.30 \times 10^{-8}$ $J_6 = 0.57 \times 10^{-8}$			
	$\Omega_2 = 4.79 \times 10^{-20}$ $\Omega_4 = 1.29 \times 10^{-20}$ $\Omega_6 = 4.35 \times 10^{-20}$			$\Omega_2 = 0.30 \times 10^{-20}$ $\Omega_4 = 5.12 \times 10^{-20}$ $\Omega_6 = 2.25 \times 10^{-20}$			
均方根误差**	2.88×10^{-6}			1.60×10^{-6}			

* 指利用文献[14]中作者得出的振子强度的经验线性公式所计算的值。

** 均方根误差 = [实验值与拟合值之差的平方和/(拟合方程数 - 拟合参数)]^{1/2}。

表 2 LN:Mg²⁺:Nd³⁺ 晶体的 $^4F_{3/2} \rightarrow ^4I_J$ 跃迁参数

		跃 迁			
		$^4F_{3/2} \rightarrow ^4I_{9/2}$	$^4F_{3/2} \rightarrow ^4I_{11/2}$	$^4F_{3/2} \rightarrow ^4I_{13/2}$	$^4F_{3/2} \rightarrow ^4I_{15/2}$
波 数	(cm ⁻¹)	11364	9434	7407	5319
波 长	λ(μm)	0.88	1.06	1.35	1.88
发射振子强度(10 ⁻⁶)		4.16	12.50	4.63	0.44
跃迁几率(s ⁻¹)		1828.7	3716.5	841.6	40.4
辐射寿命τ(μs)		156			
荧光分支比β		0.28	0.58	0.13	0.01
积分发射截面Σ(10 ⁻¹⁸ cm)		3.68	11.04	4.09	0.39
发射振子强度		9.40	9.83	2.24	0.21
跃迁几率(s ⁻¹)		3841.4	2716.5	377.9	18.3
辐射寿命τ(μs)		144			
荧光分支比β		0.55	0.39	0.06	0.00
积分发射截面Σ(10 ⁻¹⁸ cm)		8.45	8.68	2.0	0.19

表 3 现有的几种激光晶体的 $^4F_{3/2} \rightarrow ^4I_J$ 跃迁参数

基 质	光 谱 参 数	跃 迁				参 考 文 献
		$^4F_{3/2} \rightarrow ^4I_{9/2}$	$^4F_{3/2} \rightarrow ^4I_{11/2}$	$^4F_{3/2} \rightarrow ^4I_{13/2}$	$^4F_{3/2} \rightarrow ^4I_{15/2}$	
YAG:Nd	跃迁几率A(s ⁻¹)	1420	1940	493	15	[16]
	荧光分支比β	0.37	0.50	0.13	0.003	
	积分发射截面Σ(×10 ⁻¹⁸ cm)	4.40	8.73	3.64	0.21	
	辐射寿命τ(μs)	259				
YAlO ₃ :Nd	跃迁几率A(s ⁻¹)	2420	3300	620	30	[17]
	荧光分支比β	0.38	0.52	0.10	0.005	
	积分发射截面Σ(×10 ⁻¹⁸ cm)	6.83	13.45	4.19	0.40	
	辐射寿命τ(μs)	157				
La ₂ Be ₂ O ₅ :Nd	跃迁几率A(s ⁻¹)	2716	3160	776	18.8	[18]
	荧光分支比β	0.407	0.474	0.116	0.003	
	积分发射截面Σ(×10 ⁻¹⁸ cm)	6.97	11.89	4.74	0.22	
	辐射寿命τ(μs)	150				
Gd ₃ Ga ₅ O ₁₂ :Nd	跃迁几率A(s ⁻¹)	1740	1821	428	11	[18]
	荧光分支比β	0.435	0.455	0.107	0.003	
	积分发射截面Σ(×10 ⁻¹⁸ cm)	4.70	7.17	2.75	0.14	
	辐射寿命τ(μs)	250				

四、讨论及激光实验

4.1 讨论

由表 1 看到吸收振子强度的实验值和计算值符合较好，也基本符合文献[14]中的经验计算公式。LN:Mg²⁺:Nd³⁺ 的吸收谱带 $^4I_{9/2} \rightarrow \begin{cases} ^4G_{5/2} \\ ^4G_{9/2} \end{cases}$ (吸收峰在 598 nm 左右) 的振子强度最大，所以用此峰泵浦 LN:Mg²⁺:Nd³⁺ 晶体效率最高。

由表 2 看到 LN:Mg²⁺:Nd³⁺ 的 $^4F_{3/2} \rightarrow ^4I_{11/2}$ 跃迁的荧光分支比的计算值: $\bar{\beta} = (0.58 + 0.39)/2 \approx 0.48$; 辐射寿命的计算值: $\bar{\tau} = (144 + 156)/2 = 150(\mu\text{s})$ 。这与文献[9]报道的测量结果: $\beta = 0.44$, $\tau = 120 \mu\text{s}$ 相近。

目前已发展了很多种 Nd³⁺ 激光材料，人们对这些 Nd³⁺ 激光材料进行了大量研究，对多种 Nd³⁺ 激光材料的光谱参数进行了计算。表 3 列出了几种现有 Nd³⁺ 激光材料的光谱参数值。比较表 2 和 3，可看到 LN:Mg²⁺:Nd³⁺ 的辐射跃迁几率、荧光分支比和积分发射截面都与已有激光材料的相近，特别是 LN:Mg²⁺:Nd³⁺ 的 $^4F_{3/2} \rightarrow ^4I_{11/2}$ 跃迁的积分发射截面比 YAG:Nd 的略大，所以 LN:Mg²⁺:Nd³⁺ 很可能成为一种很有发展前途的激光材料。

4.2 激光实验观察

首先加工抛光一块 $4 \times 4 \times 10 \text{ mm}^3$ 沿 y 轴切向的 LN:Mg²⁺:Nd³⁺ 晶棒；然后用 Rh6G 脉冲染料激光器做激光泵浦源，选用 598 nm 的激光波长对 LN:Mg²⁺:Nd³⁺ 晶体进行纵向泵浦实验。实验中观测到了 LN:Mg²⁺:Nd³⁺ 的 $^4F_{3/2} \rightarrow ^4I_{11/2}$ 跃迁的红外激光输出，测量到激光泵浦阈值约为 20 mJ。

本文实验中得到了山东大学晶体所的部分老师及光学系的刘恩泉，侯学源和孙玉铭老师的帮助，在此表示衷心感谢。

参 考 文 献

- 1 N. F. Evlanova et al., *JETP Lett.*, **5**, 291(1967)
- 2 L. F. Johnson et al., *J. Appl. Phys.*, **40**, 297(1969)
- 3 A. A. Kaminskii, *Sov. Phys. Crystallogr.*, **17**, 198(1972)
- 4 K. G. Belabaev et al., *Phys. Status Solidi (a)*, **1**, 573(1970)
- 5 V. G. Dmitriev et al., *Sov. Techn. Phys. Lett.*, **4**, 590(1979)
- 6 I. P. Kaminow et al., *IEEE J. Quant. Electr.*, **QE-11**, 360(1975)
- 7 G. G. Zhong et al., In Proceedings of the 11th International Quantum Electronics Conference, IEEE Catalog No. 80 CH 1561-0 (Institute of Electrical and Electronics Engineers, New York, 1980), 631
- 8 Amado Cordova-Plaza et al., *IEEE J. Quant. Electr.*, **QE-23**(2), 262(1987)
- 9 T. Y. Fan et al., *J. Opt. Soc. Am. B*, **3**, 140(1986)
- 10 Judd B. R., *J. Chem. Phys.*, **127**, 750(1962)
- 11 Ofelt G. S. et al., *J. Chem. Phys.*, **37**, 511(1962)
- 12 Garnall W. T. et al., *J. Chem. Phys.*, **49**, 4424(1968)
- 13 Boyd G. D. et al., *J. Appl. Phys.*, **38**, 1941(1967)
- 14 苏锵, 吕玉华; 中国稀土学报; **1**(2), 37(1983)
- 15 W. F. Krupke, *IEEE J. Quant. Electr.*, **QE-10**(4), 450(1974)
- 16 W. F. Krupke, *IEEE J. Quant. Electr.*, **QE-7**(4), 153(1971)
- 17 Weber, et al., *Phys. Rev. B*, **8**, 47(1973)
- 18 T. S. Lomheim and L. G. De Shazer, *Phys. Rev. B*, **20**, 43043(1979)